

# **Reconstruction 3D basée sur des graphes de flots**

**Mica Macé**

**Numéro candidat : 22167**

## Techniques classiques de reconstruction 3D



LiDaR



Photogrammétrie

## I - Graphes de flot : théorie

1. Graphe de flot : définition
2. Valeur et flot maximal
3. Coupe et coupe minimale
4. Théorème Max-Flow Min-Cut
5. Graphe résiduel et chemin augmentant
6. Méthode de Ford-Fulkerson
7. Comparatif des algorithmes de flot max

## II - Segmentation d'une image 2D

1. Marquage des régions  $\mathcal{O}$  et  $\mathcal{B}$
2. Construction du graphe
  1. Capacités de région
  2. Capacité de frontière
  3. Définition de  $c$
3. Résultat

## III - Reconstruction 3D

1. Une nouvelle interprétation des GraphCuts
2. Ce qui change par rapport à la 2D
3. Résultat

## Annexes

- 1a. Limites de l'intensité...
- 1b. ... et améliorations
2. Calcul de la fonction  $\mathcal{O}$
3. Preuve du théorème et de l'algorithme
4. Une execution de l'algorithme
5. Programmes

**Définition : Graphe de flot**

Un graphe de flot est un quintuplet  $(\mathcal{V}, \mathcal{E}, s, t, c)$ , où :

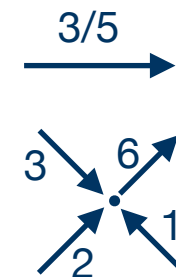
- $\mathcal{V}$  : ensemble des sommets  $v$  du graphe
- $\mathcal{E} \subset \mathcal{V}^2$  : ensemble des arêtes du graphe
- $s$  : sommet source
- $t$  : sommet puit
- $c : \mathcal{E} \rightarrow \mathbb{R}^+$  : capacité des arêtes

On peut alors lui attribuer une fonction de flot :

**Définition : flot**

Un flot est une application  $f : \mathcal{E} \rightarrow \mathbb{R}^+$  vérifiant les deux contraintes suivantes :

$$\forall (i, j) \in \mathcal{E} : \begin{cases} 0 \leq f_{ij} \leq c_{ij} \text{ (Contrainte de capacité)} \\ \forall v \notin \{s, t\} f_v^- = f_v^+ \text{ (Loi de Kirchov)} \end{cases}$$



On note

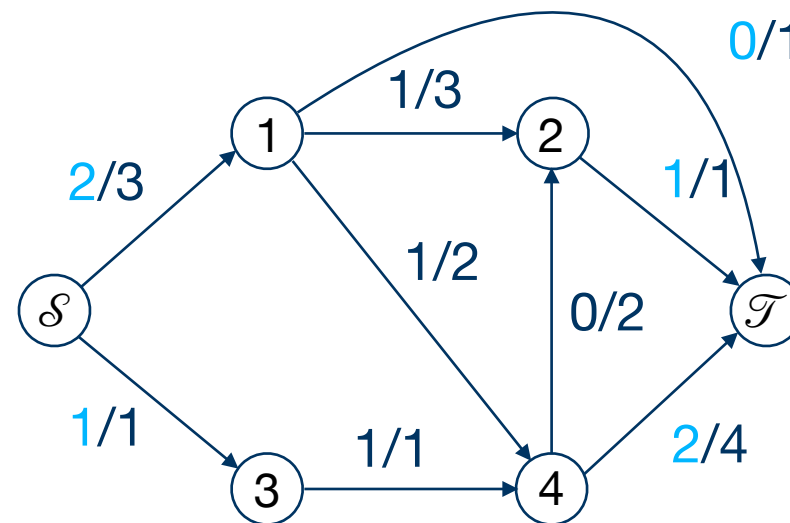
$f_{ij}$  le flot et  $c_{ij}$  la capacité le long de l'arête  $(i, j)$   
 $f^+$ , le flot entrant et  $f^-$ , le flot sortant d'un sommet.



**Définition : valeur d'un flot**

La valeur d'un flot  $f$  est notée  $|f|$  et vaut :

$$|f| = \sum_{i \in \mathcal{V}, (i,t) \in \mathcal{E}} f_{i,t} = \sum_{i \in \mathcal{V}, (s,i) \in \mathcal{E}} f_{s,i}$$

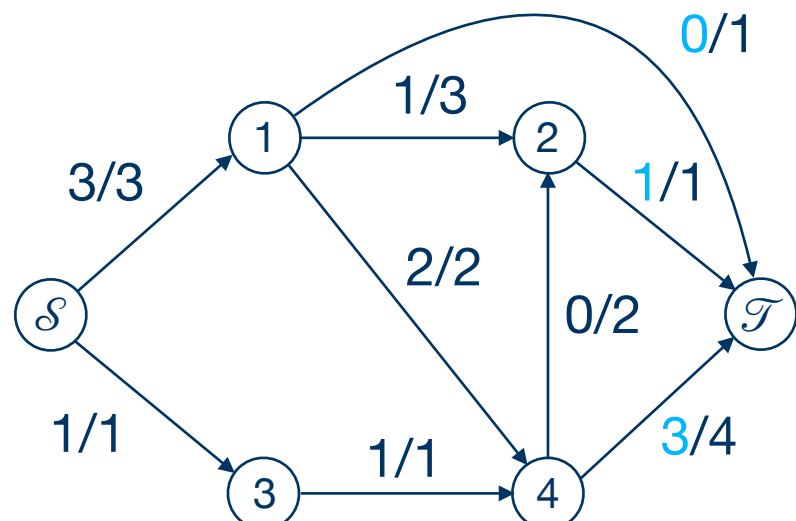


$$|f| = 3$$

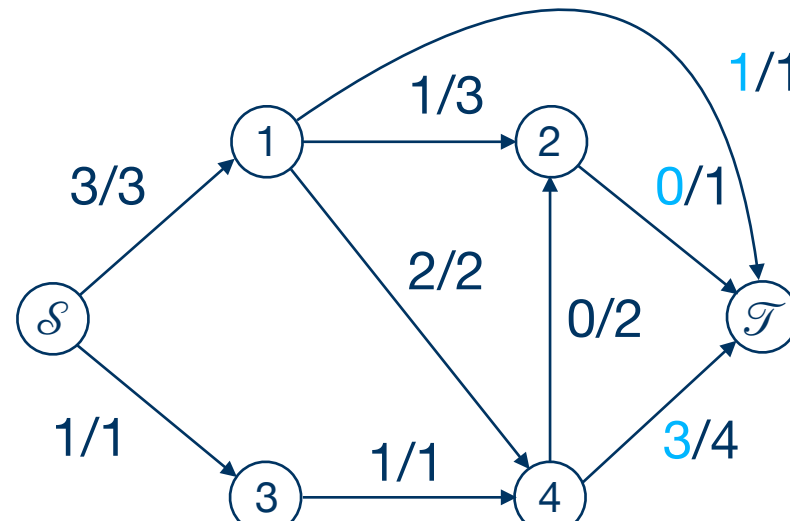
Légende :



On note  $f^*$  un flot de valeur maximale



$$|f| = |f^*| = 4$$



$$|f| = |f^*| = 4$$

**Définition : coupe**

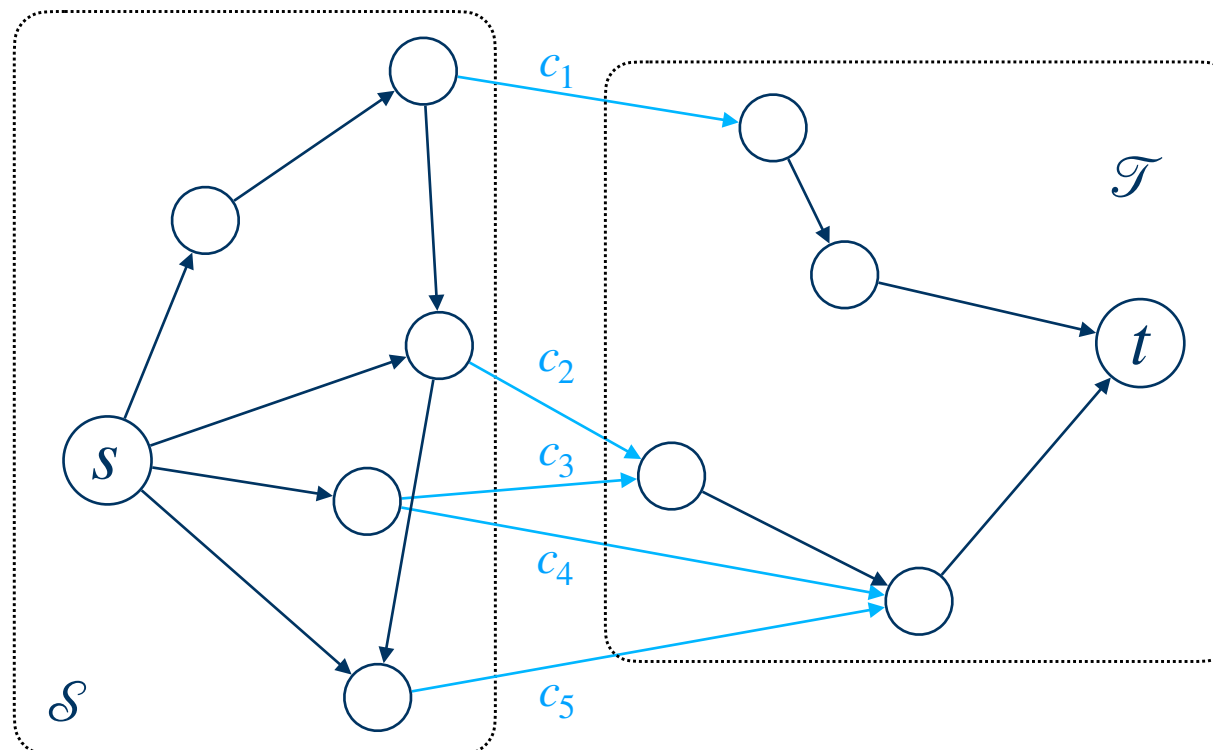
On appelle coupe d'un graphe de flot une partition  $(\mathcal{S}, \mathcal{T})$  de  $\mathcal{V}$  telle que :

$$s \in \mathcal{S}, t \in \mathcal{T}, \mathcal{S} \cap \mathcal{T} = \emptyset$$

La valeur de la coupe notée  $\mathcal{C}(\mathcal{S}, \mathcal{T})$  est :

$$\mathcal{C}(\mathcal{S}, \mathcal{T}) = \sum_{i \in \mathcal{S}, j \in \mathcal{T}} c_{ij}$$

Une coupe minimale est une coupe de valeur minimale



$$\mathcal{C}(\mathcal{S}, \mathcal{T}) = c_1 + c_2 + c_3 + c_4 + c_5$$

**Théorème (Ford - Fulkerson) : Max-flow min-cut**

Pour tout graphe de flot, la valeur d'une coupe minimale est égale à la valeur d'un flot maximal

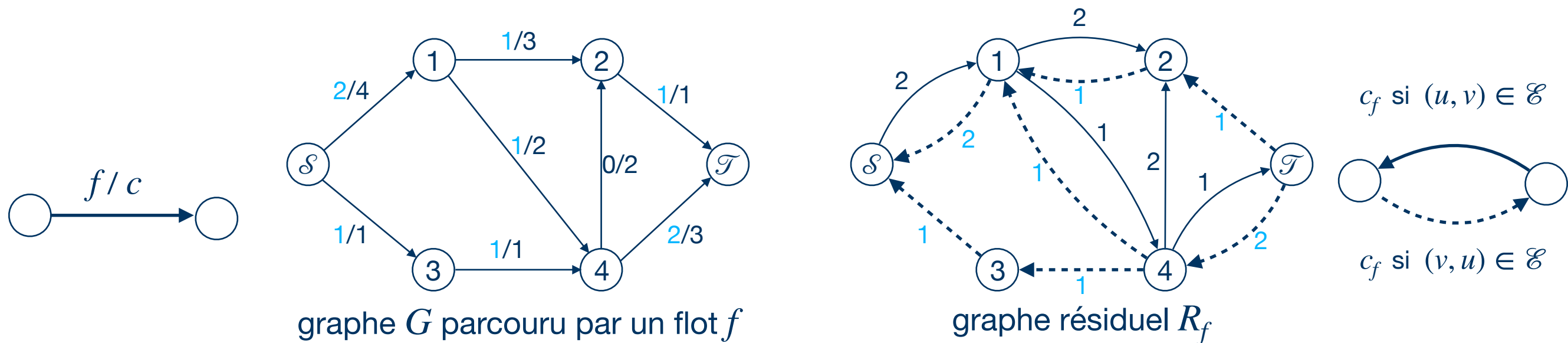
**Définition : Graphe résiduel**

Le graphe résiduel de  $G$  associé à  $f$  est :  $R_f = (\mathcal{V}, \mathcal{E}_f, s, t, c_f)$

avec :

- $\mathcal{E}_f = \{(u, v) \in \mathcal{V}^2 \mid c_f(u, v) > 0\}$
- $c_f : \mathcal{V}^2 \longrightarrow \mathbb{R}^+$ , **capacité résiduelle**, définie par :

$$\forall (u, v) \in \mathcal{V}^2, c_f(u, v) = \begin{cases} c(u, v) - f(u, v) & \text{si } (u, v) \in \mathcal{E} \\ f(u, v) & \text{si } (v, u) \in \mathcal{E} \\ 0 & \text{sinon} \end{cases}$$

**Définition : chemin augmentant**

Un **chemin**  $s \rightarrow t$  dans le graphe résiduel  $R_f$  est appelé **chemin augmentant**



Entrée : graphe  $(\mathcal{V}, \mathcal{E}, s, t, c)$

---

0 :  $f \leftarrow$  flot nul

1 : **Tant que** il existe un chemin simple  $\gamma$  de  $s$  vers  $t$  dans  $R_f$  :

2 :      $\Delta = \min\{r_f(u, v) \mid (u, v) \in \gamma\}$

3 :     **Pour**  $(u, v) \in \gamma$  :

4 :         **Si**  $(u, v) \in A$  :

5 :              $f(u, v) \leftarrow f(u, v) + \Delta$

6 :         **Sinon** :

7 :              $f(u, v) \leftarrow f(u, v) - \Delta$

8 : **Renvoyer**  $f$

Algorithme	Complexité temporelle
Floyd-Fulkerson	$O(E \cdot  f^* )$
Edmonds-Karp	$O(V \cdot E^2)$
Dinitz	$O(V^2 \cdot E)$
<i>Shortest-augmenting path</i>	$O(V^2 \cdot E)$
Boykov-Kolmogorov	$O(V^2 \cdot E \cdot  f^* )$
Pre-flow push	$O(V^2 \cdot \sqrt{E})$

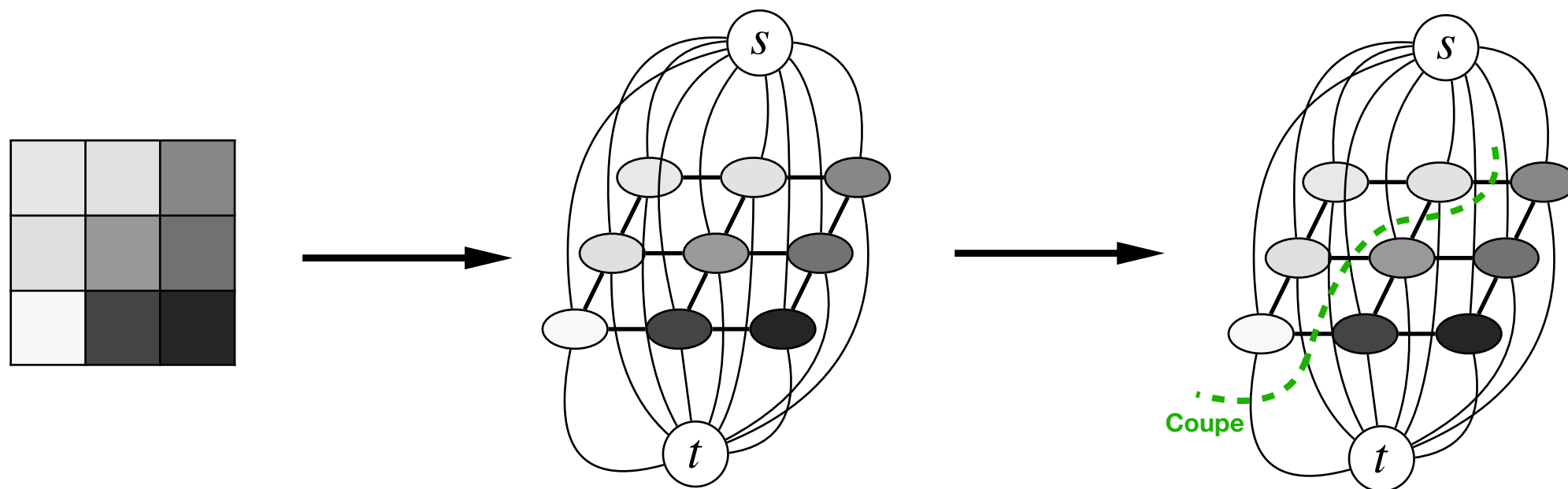
# II - Segmentation d'image

## Objectif

**Détourer la silhouette d'un objet** du fond d'une image après la sélection de quelques pixels appartenant respectivement à l'objet et au fond de l'image.

## Technique utilisée

**Transformer le problème du détourage d'image** en un **problème de recherche de coupe minimale dans un graphe de flots**.  
(d'après Boykov et Jolly)



L'ensemble des pixels  $\mathcal{P}$  d'une image de dimensions  $w \times h$  est identifié à  $\llbracket 1, w \times h \rrbracket$  en allant de la gauche vers la droite puis de haut en bas.

1	2	3	4	5	6	7
8	9	10	11	12	13	14
15	16	17	18	19	20	21
22	23	24	25	26	27	28
29	30	31	32	33	34	35
36	37	38	39	40	41	42

Selection des pixels graines dans chacune des « régions » de l'image

$\left\{ \begin{array}{l} \mathcal{O} \text{ la région de l'objet, en rouge} \\ \mathcal{B} \text{ la région du background, en bleu} \end{array} \right.$

1	2	3	4	5	6	7
8	9	10	11	12	13	14
15	16	17	18	19	20	21
22	23	24	25	26	27	28
29	30	31	32	33	34	35
36	37	38	39	40	41	42

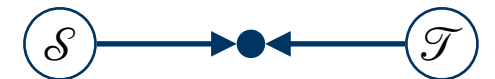
Pour construire le graphe  $G = (\mathcal{V}, \mathcal{E}, s, t, c)$  :

Définissons l'ensemble des sommets  $\mathcal{V}$  par  $\mathcal{V} = \mathcal{P} \cup \{0, wh + 1\}$   
(où 0 correspond à  $s$  et  $wh + 1$  correspond à  $t$ )

Définissons  $\mathcal{E}$  l'ensemble des arêtes en deux temps :

Les arêtes de région reliant chaque pixel à la source et au puit par :

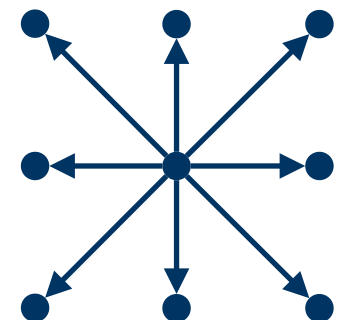
$$\mathcal{F} = \bigcup_{p \in \mathcal{P}} \{(s, p), (p, t)\}$$



Les arêtes de frontière reliant les pixels entre eux par :

$$\forall p \in \mathcal{P}, \mathcal{N}_p = \{p' \mid p' \in \mathcal{P} \text{ et } d(p, p') \leq \sqrt{2}\}$$

et :  $\mathcal{N} = \{(p, p') \mid p \in \mathcal{P}, p' \in \mathcal{N}_p\}$



Finalement :  $\mathcal{E} = \mathcal{N} \cup \mathcal{F}$

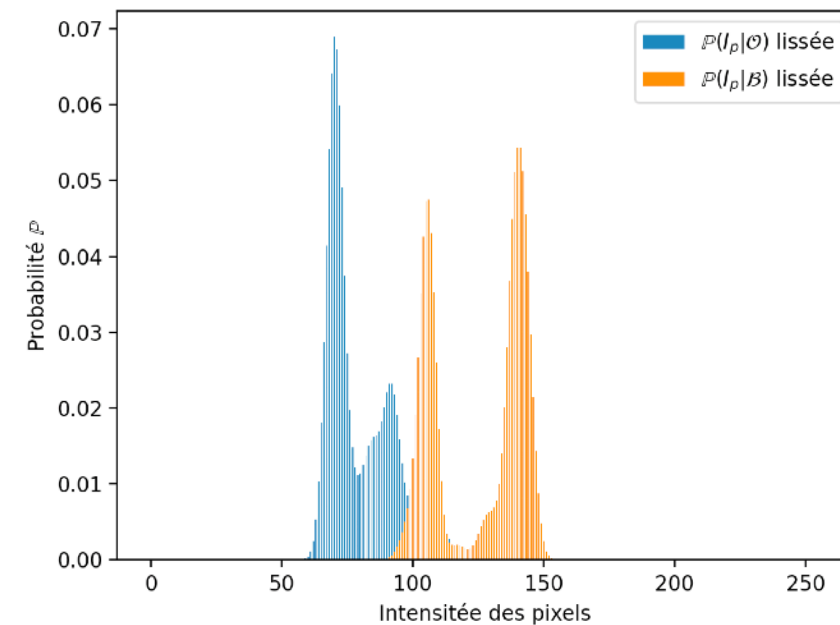
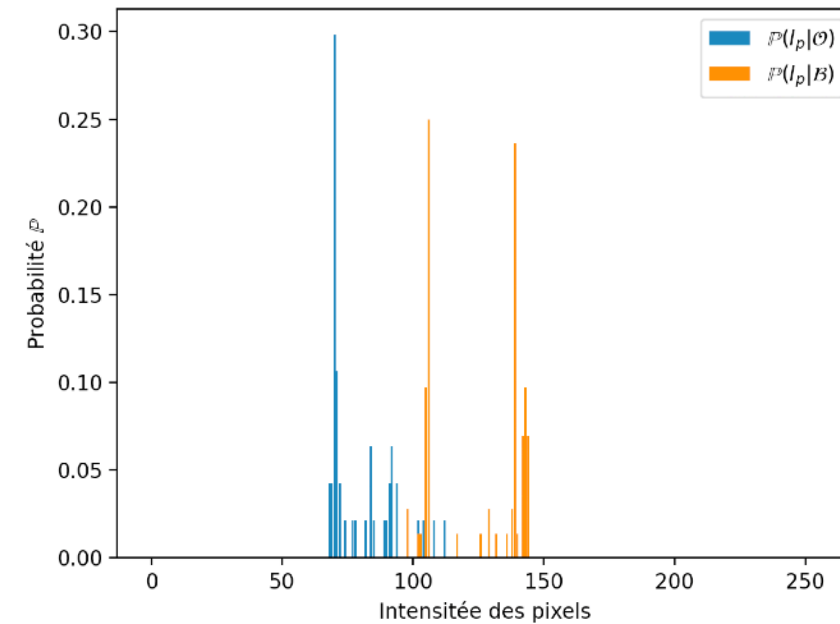
Il reste à définir  $c$  la fonction de capacité pour chaque type d'arête

Pour les capacités de région, Boykov et Jolly posent :

$$\forall p \in \mathcal{N}, \begin{cases} R_p(0) = -\ln(\mathbb{P}(I_p | \mathcal{O})) \\ R_p(1) = -\ln(\mathbb{P}(I_p | \mathcal{B})) \end{cases}$$

Le calcul de  $\mathbb{P}$  se fait alors en trois temps :

- Calcul de l'histogramme des intensités des graines
- Normalisation pour obtenir une probabilité
- « Lissage » de la probabilité par un noyau gaussien



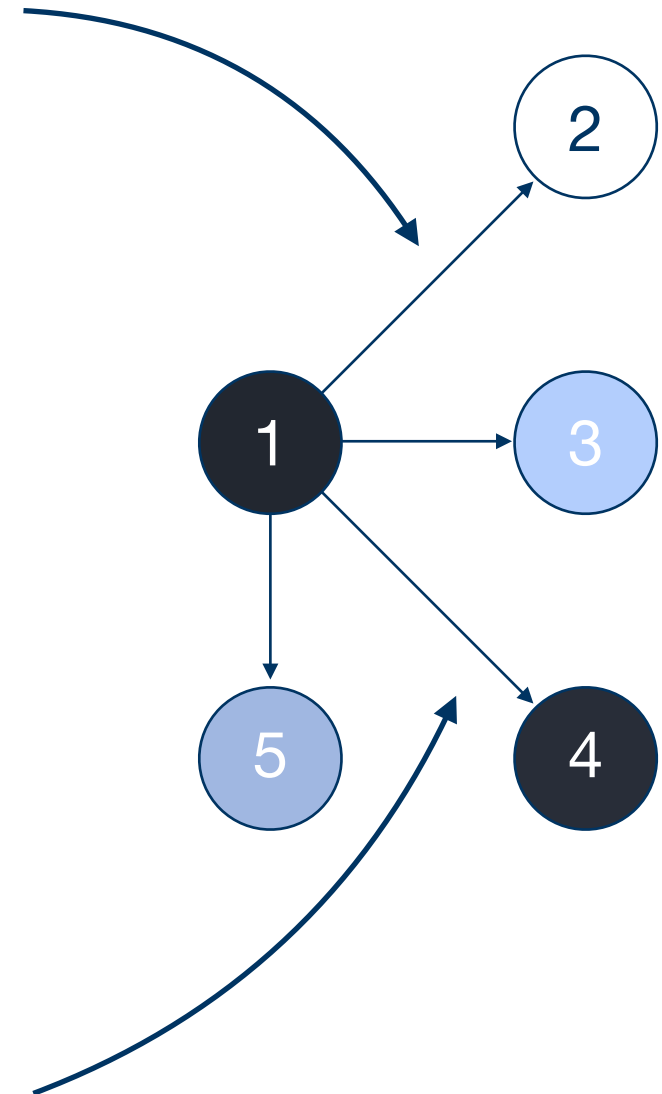
Pour les capacités de frontière, Boykov et Jolly proposent :

$$B_{\{p,q\}} = \frac{\exp\left(-\frac{(I_p - I_q)^2}{2\sigma^2}\right)}{d(p, q)}$$

$d(p, q)$  : la distance euclidienne entre deux pixels

Ici, il faut une **capacité très faible** pour séparer ces pixels

Là, il faut une **capacité très élevée** pour regrouper ces pixels



Arête	Si	Alors $c =$
$\{p, q\}$	$\{p, q\} \in \mathcal{N}$	$B_{\{p, q\}}$
$\{p, s\}$	$p \in \mathcal{P}, p \notin \mathcal{O} \cup \mathcal{B}$	$\lambda \cdot Rp(1)$
	$p \in \mathcal{O}$	$K$
	$p \in \mathcal{B}$	0
$\{p, t\}$	$p \in \mathcal{P}, p \notin \mathcal{O} \cup \mathcal{B}$	$\lambda \cdot Rp(0)$
	$p \in \mathcal{O}$	0
	$p \in \mathcal{B}$	$K$

Avec

$$K = 1 + \max_{p \in \mathcal{P}} \sum_{\{p, q\} \in \mathcal{N}} B_{\{p, q\}}$$

$K$  est utilisé pour tous les pixels déjà identifiés comme appartenant à l'objet ou au background. Il est pris très grand pour éviter que la coupe ne sépare ces pixels.



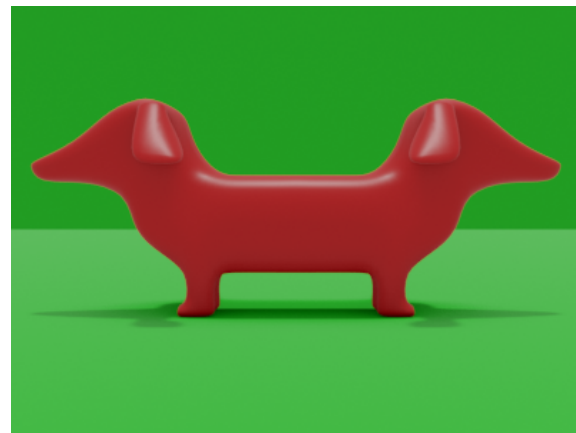
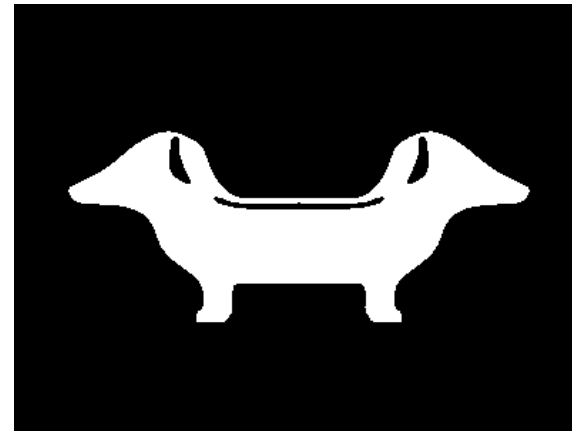


Image d'origine



Résultat de la segmentation

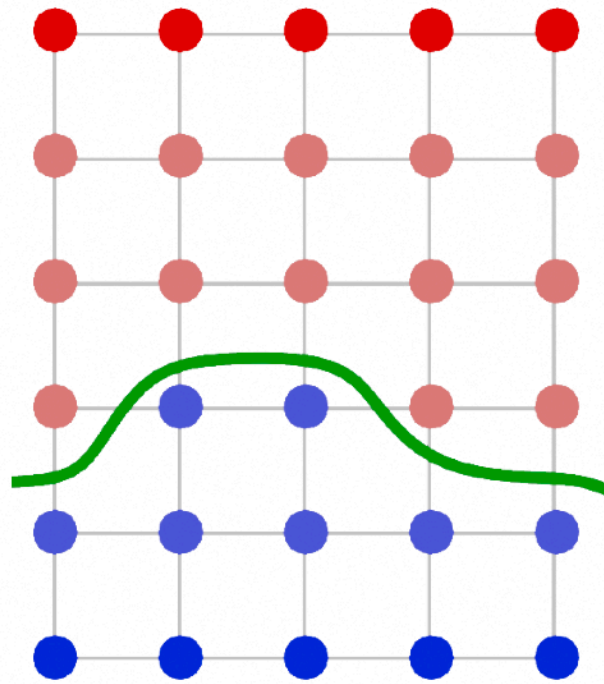
# III - Reconstruction 3D

## Objectif

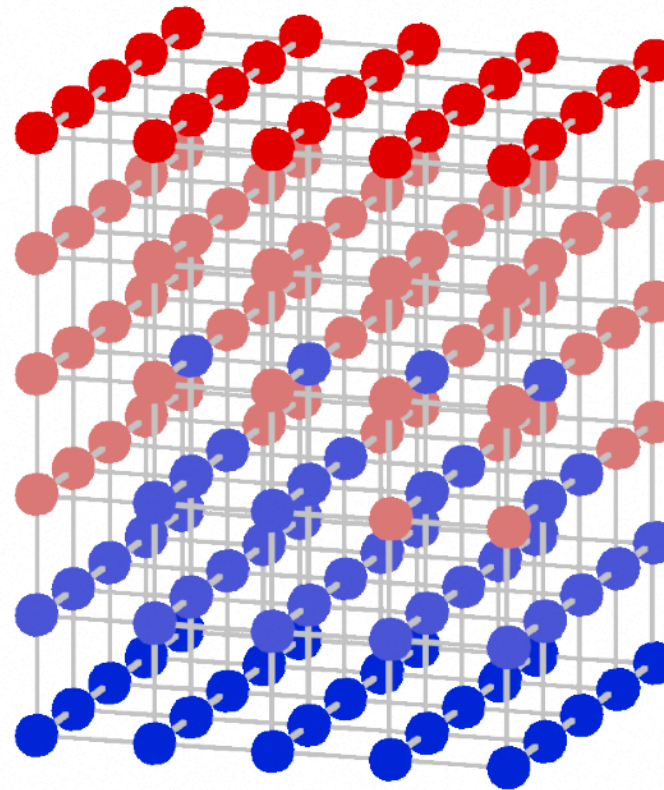
**Reconstruire un nuage de points représentant le modèle 3D**  
d'un objet à partir d'une série de photos de l'objet.

## Technique utilisée

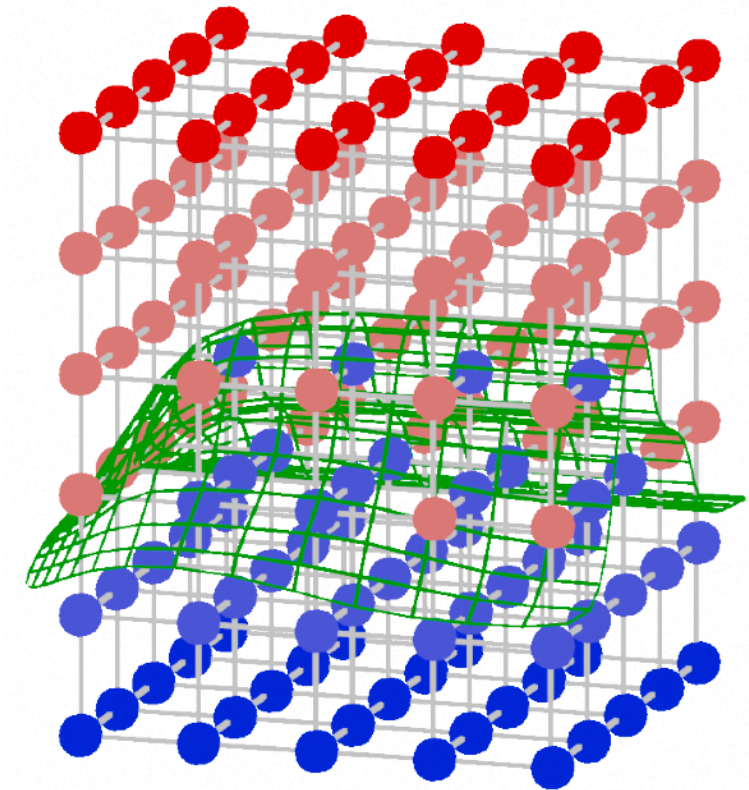
Transformer **le problème de reconstruction 3D** en un **problème de recherche de coupe minimale dans un graphe de flot** créé à partir des silhouettes des objets détournés par la méthode précédente.



Une coupe en 2D et la courbe associée

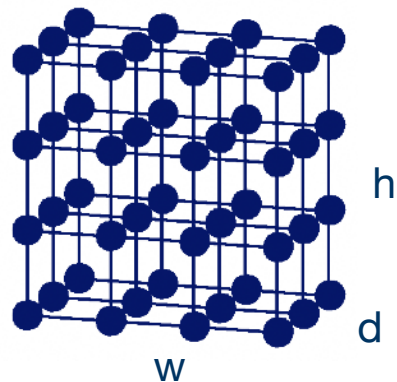


Une coupe en 3D



L'hypersurface de dimension 2 associée

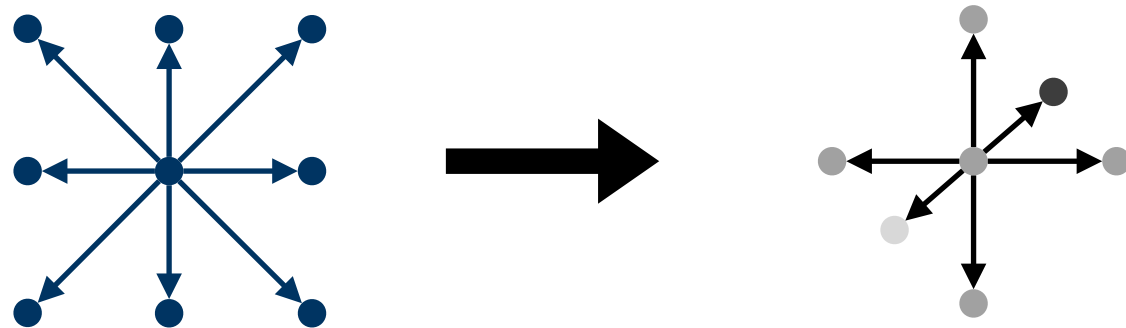
Les pixels deviennent des voxels  
(équivalent 3D du pixel)



$$\mathcal{V}' = \llbracket 1, w \times h \times d \rrbracket$$

$$\mathcal{V} = \mathcal{V}' \cup \{0, whd + 1\}$$

Les arêtes de frontière sont plus nombreuses, on réduit le voisinage :



$$\mathcal{F} = \bigcup_{p \in \mathcal{V} \setminus \{s, t\}} \{(s, p), (p, t)\}$$

$$\forall v \in \mathcal{V}', \mathcal{N}_v = \{v' \mid v' \in \mathcal{V}' \text{ et } d(v, v') \leq 1\}$$

$$\text{et : } \mathcal{N} = \{(v, v') \mid v \in \mathcal{V}', v' \in \mathcal{N}_v\}$$

$$\mathcal{E} = \mathcal{N} \cup \mathcal{F}$$

On ne dispose plus de l'intensité de chaque voxel, car certains sont cachés par d'autres. A la place on utilise le nombre de camera « observant » le voxel  $v$ , noté  $O(v)$

Alors on définit  $c$  par :

$$B_{p,q} = \frac{\alpha \cdot O(p) \cdot O(q)}{\langle O \rangle^2}$$

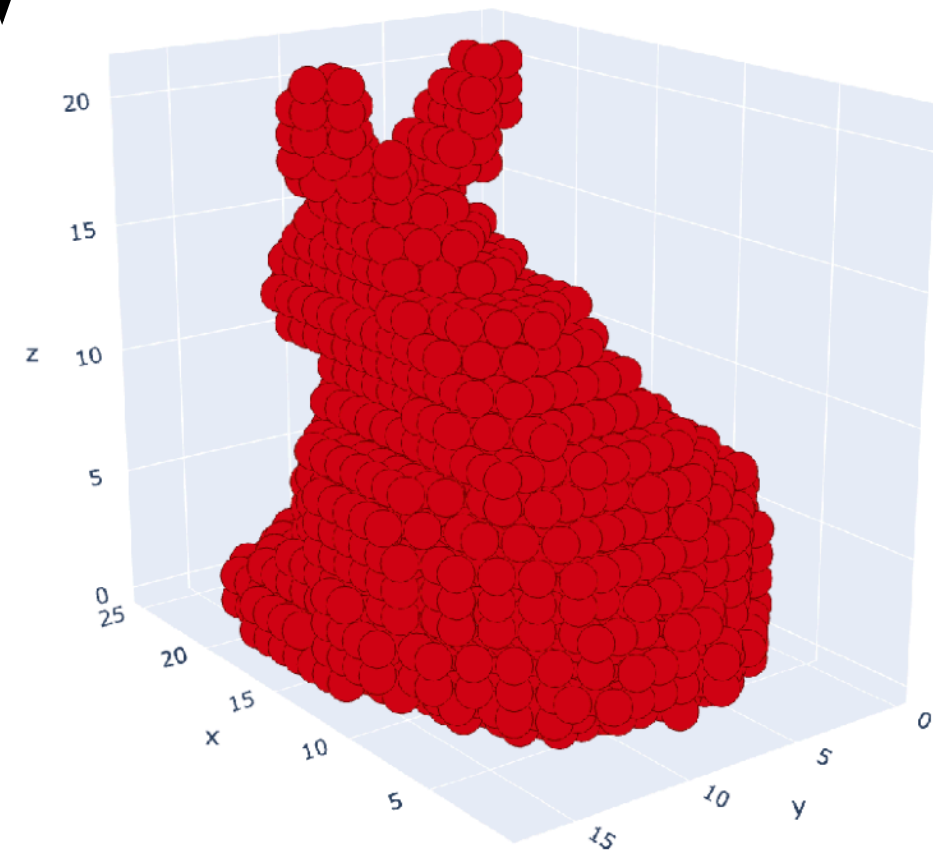
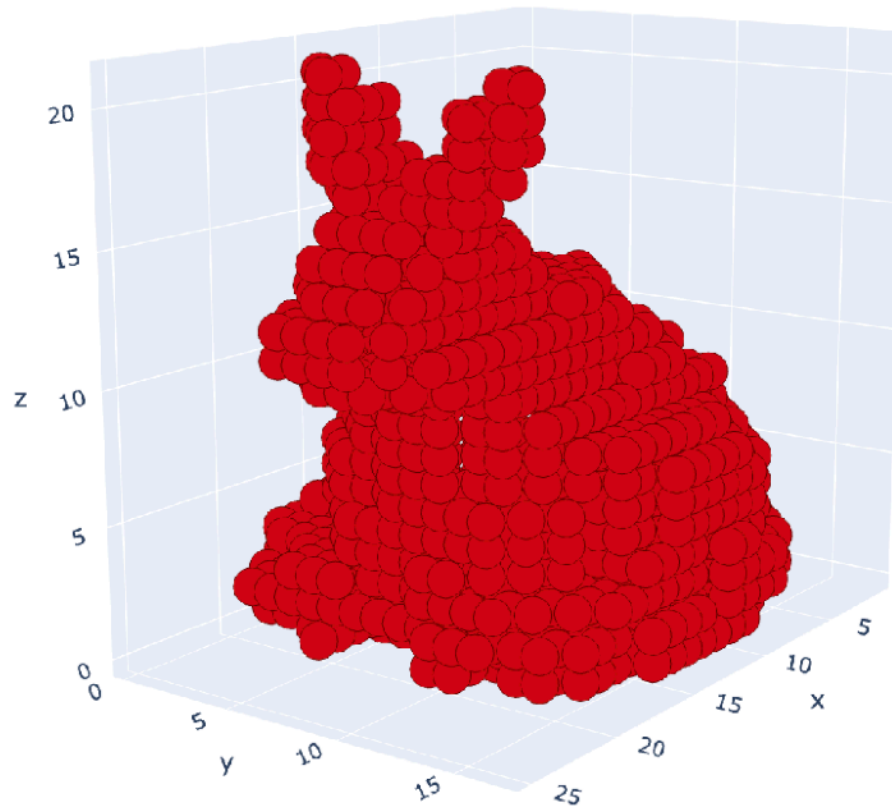
$$\text{et : } \begin{cases} R_p(1) = \lambda(1 - \exp(-\frac{O(p)}{\nu})) \\ R_p(0) = C^{ste} \end{cases}$$

avec  $\alpha, \lambda, \nu, C^{ste}$  à ajuster

Prises de vues  
fournies à  
l'algorithme  
avec leurs  
données  
spatiales



Résultat de la  
reconstruction 3D



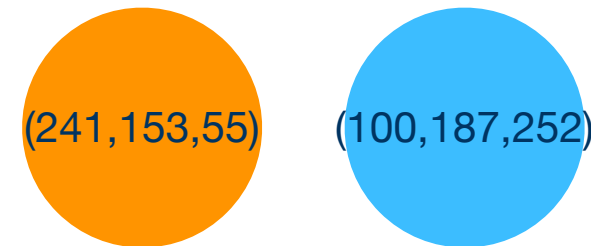
Merci pour votre attention

Soit un pixel  $p = (R, G, B)$

Son intensité  $I_p$  est définie par : 
$$\begin{cases} I_p = \left\lfloor R \frac{299}{1000} + G \frac{587}{1000} + B \frac{114}{1000} \right\rfloor \\ I_p \in [0, 255] \end{cases}$$




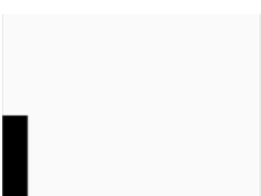


et les coefficients sont adaptés pour l'oeil humain

**Problème** : ces deux pixels ont même intensité et seront donc considérés comme extrêmement similaires



Ce problème est dû à la projection de l'espace  $[0, 255]^3$  sur  $[0, 255]$  par cette fonction mais ne tient pas compte de sa géométrie.

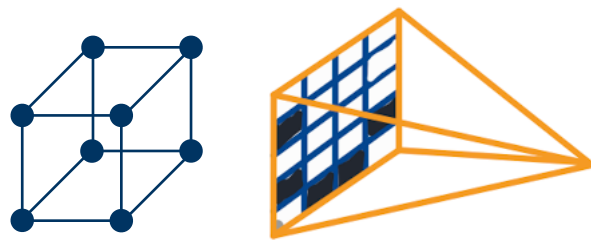
Le tableau suivant récapitule différentes méthodes pour calculer cette différence

Fonction	Avantage	Inconvénient	Résultat
$\Delta_{I,pp'} = I_p - I'_p$	Formule assez intuitive	Fonctionne très mal	
$\Delta_{I,pp'} = \left\  \begin{pmatrix} r \\ g \\ b \end{pmatrix} - \begin{pmatrix} r' \\ g' \\ b' \end{pmatrix} \right\ ^2$	Vectoriellement cohérente	Fonctionne mal	
$\Delta_{I,pp'} = \sum_{i=1}^3 \frac{256}{1 +  p_i - p'_i }$	Théoriquement prometteuse	Fonctionne assez mal	
$\Delta_{I,pp'} = \left\  \begin{pmatrix} r \\ g \\ b \end{pmatrix} - \begin{pmatrix} r' \\ g' \\ b' \end{pmatrix} \right\ $	Cohérente	Fonctionne mal	
$\Delta_{I,pp'} = \left\  \begin{pmatrix} r \\ g \\ b \end{pmatrix} + \begin{pmatrix} r' \\ g' \\ b' \end{pmatrix} \right\ $	Fonctionne très bien en pratique	N'a pas de raison théorique de fonctionner de manière générale, peut-être pas généralisable à d'autres images	
$\Delta_{I,pp'} = \left\  \begin{pmatrix} r \\ g \\ b \end{pmatrix} \wedge \begin{pmatrix} r' \\ g' \\ b' \end{pmatrix} \right\ $	Théoriquement très efficace sur n'importe quelle image.	Fonctionne un tout petit peu moins bien que la précédente sur cet exemple particulier.	

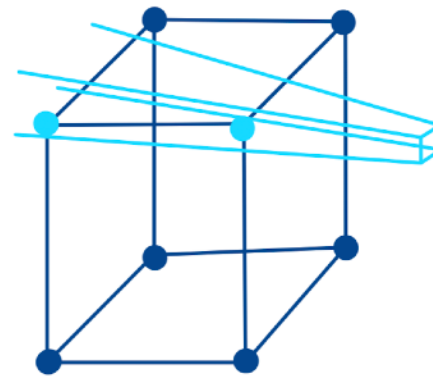
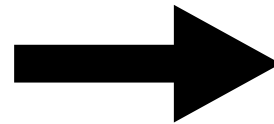


Soit  $(x_0, y_0, z_0)$  les coordonnées de la caméra,  $\theta$  sa rotation suivant  $u_z$ ,  $(x, y, z)$  les coordonnées de l'intersection d'un vecteur unitaire normal au plan de l'image et ayant pour origine  $(x_0, y_0, z_0)$ , et du plan de l'image. Enfin  $(x', y', z')$  sont les composantes du vecteur du pixel tout en haut à gauche de l'image.

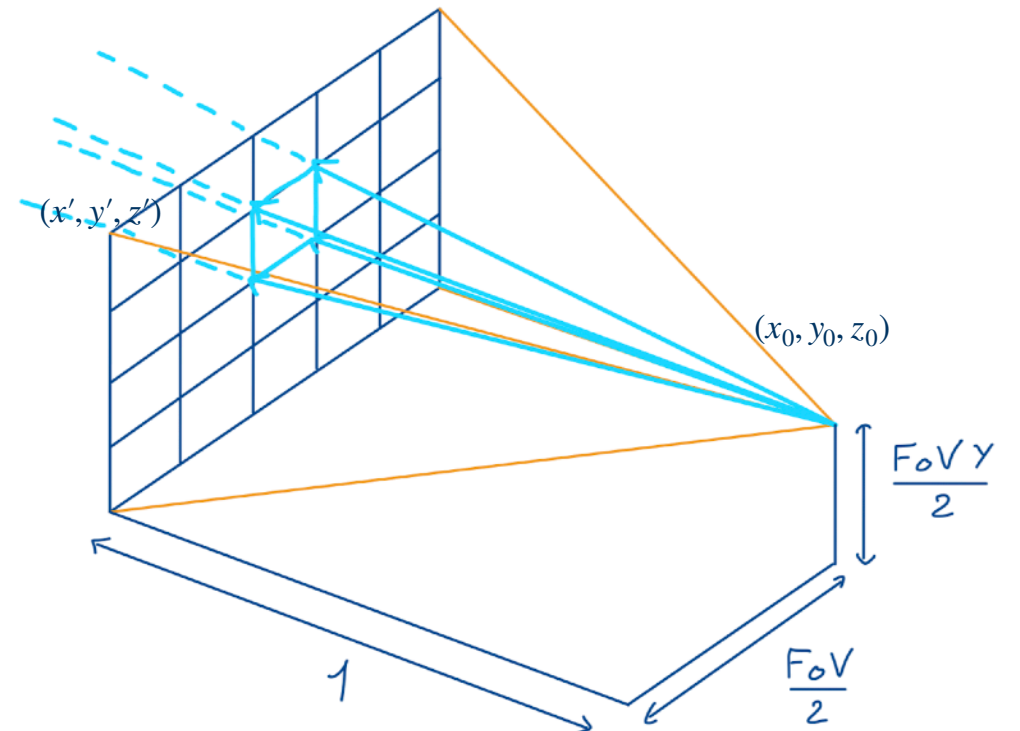
$$\begin{pmatrix} x \\ y \\ z \end{pmatrix} = \begin{pmatrix} x_0 - \sin(\theta) \\ y_0 + \cos(\theta) \\ z_0 + \frac{FoV_y}{2} \end{pmatrix} \text{ et } \begin{pmatrix} x' \\ y' \\ z' \end{pmatrix} = \begin{pmatrix} x - \cos(\theta) \cdot \tan(\frac{FoV}{2}) \\ y - \sin(\theta) \cdot \tan(\frac{FoV}{2}) \\ z \end{pmatrix} \quad \text{Soit : } \begin{pmatrix} x' \\ y' \\ z' \end{pmatrix} = \begin{pmatrix} x_0 - \cos(\theta) \cdot \tan(\frac{FoV}{2}) - \sin(\theta) \\ y_0 - \sin(\theta) \cdot \tan(\frac{FoV}{2}) + \cos(\theta) \\ z_0 + \frac{FoV_y}{2} \end{pmatrix}$$



L'image est placée à une distance (virtuelle) de 1 de la caméra



Le volume virtuel de la reconstruction (structure blanche) se fait intersecter par l'angle solide du pixel (bleu)



**Lemme 1 :**

Pour tout flot  $f$  et coupe  $\mathcal{C}(\mathcal{S}, \mathcal{T})$ , on a :

$$|f| = f^-(\mathcal{S}) - f^+(\mathcal{S})$$

**Preuve**

Par définition :  $|f| = f^-(s) = f^-(s) - f^+(s)$

Et par la loi de Kirchov :  $\forall v \neq s, t, f^-(v) - f^+(v) = 0$

Donc :

$$|f| = \sum_{v \in \mathcal{S}} f^-(v) - f^+(v) = \sum_{e \text{ sortant de } \mathcal{S}} f(e) - \sum_{e \text{ entrant dans } \mathcal{S}} f(e) = f^-(\mathcal{S}) - f^+(\mathcal{S})$$

**Lemme 2 :**

Pour tout flot  $f$  et coupe  $\mathcal{C}(\mathcal{S}, \mathcal{T})$ , on a :

$$|f| \leq \mathcal{C}(\mathcal{S}, \mathcal{T})$$

**Preuve**

$$|f| = f^-(\mathcal{S}) - f^+(\mathcal{S}) \leq f^-(\mathcal{S}) = \sum_{e \text{ sortant de } \mathcal{S}} f(e) \leq \sum_{e \text{ sortant de } \mathcal{S}} c(e) = \mathcal{C}(\mathcal{S}, \mathcal{T})$$

Ainsi, la valeur de toute coupe majore la valeur de tout flot. On va alors tenter d'exhiber une coupe minimale à partir de l'algorithme de Ford et Fulkerson. Le théorème découlera de la terminaison de l'algorithme

**Lemme 3 :**

Soit  $f$  un flot tel qu'il n'existe aucun chemin reliant  $s$  et  $t$  dans  $R_f$ , alors il existe une coupe  $\mathcal{C}(\mathcal{S}^*, \mathcal{T}^*)$  telle que

$$|f| = \mathcal{C}(\mathcal{S}^*, \mathcal{T}^*)$$

**Preuve :**

Construisons alors une telle coupe. Notons  $\mathcal{S}^* = \{v \in \mathcal{V}, \exists \gamma_{s \rightarrow v} \in R_f\}$  et  $\mathcal{T}^* = \mathcal{V} / \mathcal{S}^*$ .

On vérifie alors que  $\mathcal{C}(\mathcal{S}^*, \mathcal{T}^*)$  est bien une coupe car :

- $\mathcal{S}^* \sqcup \mathcal{T}^* = \mathcal{V}$
- $s \in \mathcal{S}^*$  par définition, et  $t \notin \mathcal{S}^*$  car il n'existe pas de chemin  $s \rightarrow t \in R_f$  donc  $t \in \mathcal{T}^*$

Montrons alors :

-Si  $e = (u, v) \in \mathcal{E}, u \in \mathcal{S}^*, v \in \mathcal{T}^*$ , alors  $f(e) = c_e$ .

Autrement,  $e$  serait une arête directe dans  $R_f$ . Or  $u \in \mathcal{S}^*$  donc il existe un chemin  $s \rightarrow u \in R_f$  et en ajoutant  $e$  à ce chemin, on disposerait d'un chemin  $s \rightarrow v \in R_f$ , ce qui contredit que  $v \in \mathcal{T}^*$

-Si  $e = (u', v') \in \mathcal{E}, u' \in \mathcal{T}^*, v' \in \mathcal{S}^*$ , alors  $f(e) = 0$ .

Autrement,  $e$  serait une arête indirecte dans  $R_f$ . Or  $v' \in \mathcal{S}^*$  donc il existe un chemin  $s \rightarrow v' \in R_f$  et en ajoutant  $e$  à ce chemin, on disposerait d'un chemin  $s \rightarrow u' \in R_f$ , ce qui contredit que  $u' \in \mathcal{T}^*$

Ainsi pour cette coupe, les arêtes sortantes de  $\mathcal{S}^*$  sont saturées, et celles entrantes sont vides

Par le Lemme 1, on a :

$$|f| = f^-(\mathcal{S}^*) - f^+(\mathcal{S}^*)$$

$$\begin{aligned} &= \sum_{e \text{ sortant de } \mathcal{S}^*} f(e) - \sum_{e \text{ entrant dans } \mathcal{S}^*} f(e) \\ &= \sum_{e \text{ sortant de } \mathcal{S}^*} c_e - 0 \\ &= \mathcal{C}(\mathcal{S}^*, \mathcal{T}^*) \end{aligned}$$

**Corollaire 1 : Théorème max-flow min-cut**

Sous les hypothèses précédentes,  $|f| = f^*$  et  $\mathcal{C}(\mathcal{S}^*, \mathcal{T}^*)$  est une coupe minimale

**Preuve :**

Conséquence directe du Lemme 2

**Corollaire 2 :**

Le flot  $f$  renvoyé par l'algorithme de Ford et Fulkerson est un flot maximal

**Preuve :**

L'algorithme de Ford-Fulkerson termine lorsqu'il n'existe plus de chemin  $s \rightarrow t \in R_f$ , nous venons de voir que cela est équivalent à la maximalité de  $f$

Si on suppose que les capacités sont entières (ou rationnelles, ce qui se ramène à des entier en multipliant par le pgcd), on peut prouver la terminaison de l'algorithme de Ford-Fulkerson

**Lemme 3 :**

La propriété :  $\forall e \in \mathcal{E}, f(e) \in \mathbb{N}, \forall e' \in \mathcal{E}_f, c_f(e') \in \mathbb{N}$  est un invariant de boucle

**Preuve :**

La propriété est initialement vraie par hypothèse.

Supposons la vraie après  $j$  itérations de la boucle, alors par hypothèse de récurrence,  $\Delta \in \mathbb{N}$  donc le flot renvoyé est à valeur entière et les nouvelles capacités du graphe résiduel également

**Lemme 4 :**

La propriété : Le valeur du flot augmente strictement à chaque itération est un invariant de boucle

**Preuve :**

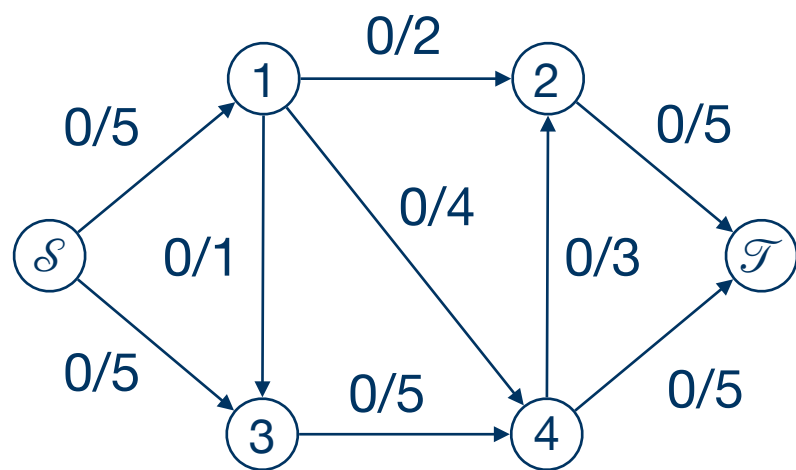
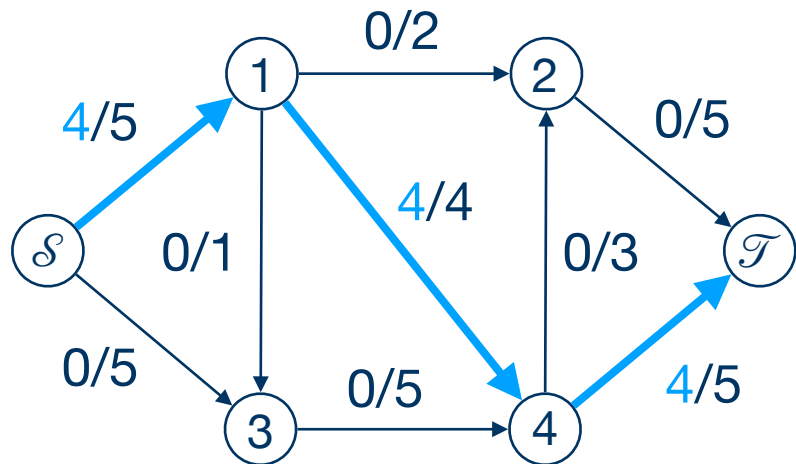
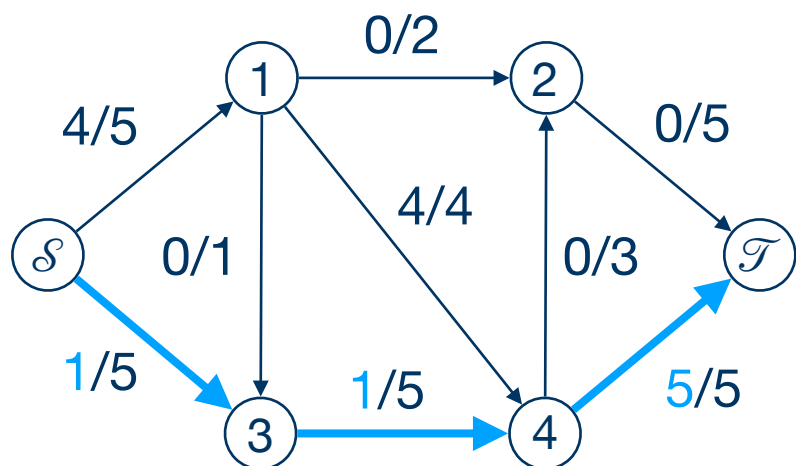
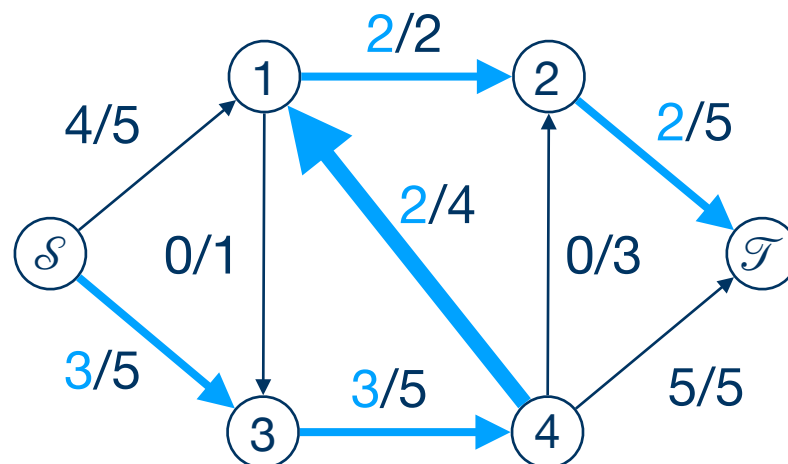
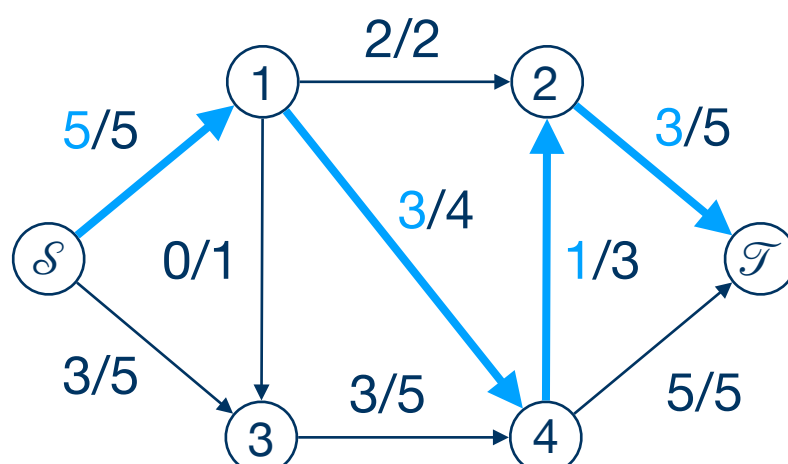
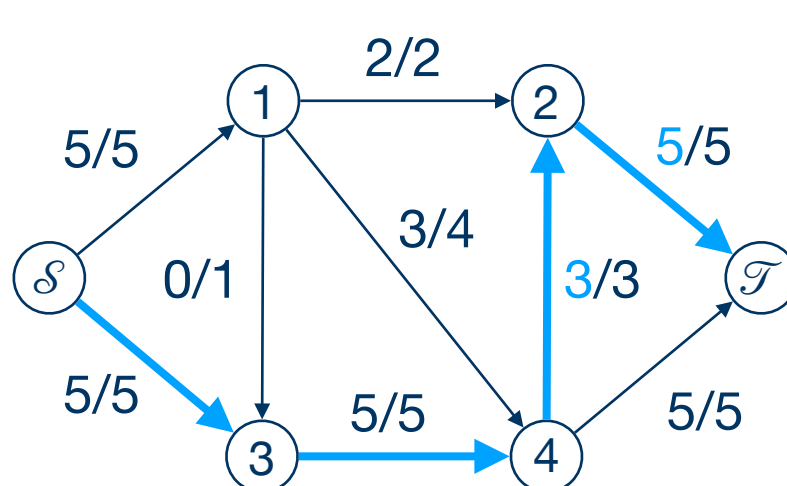
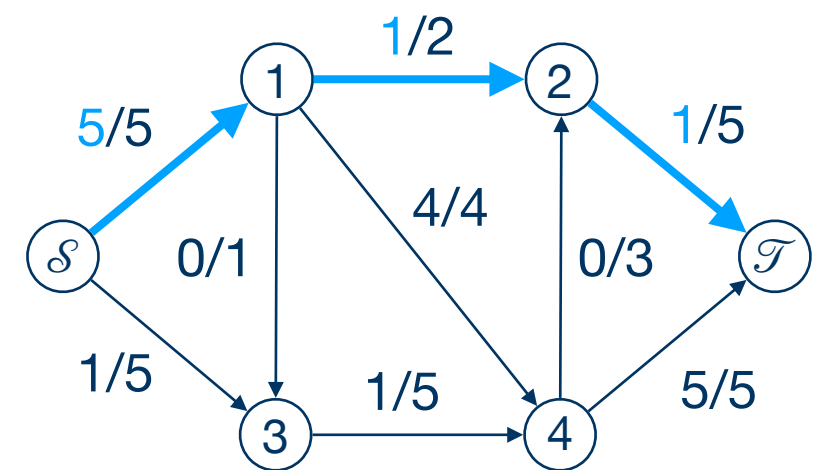
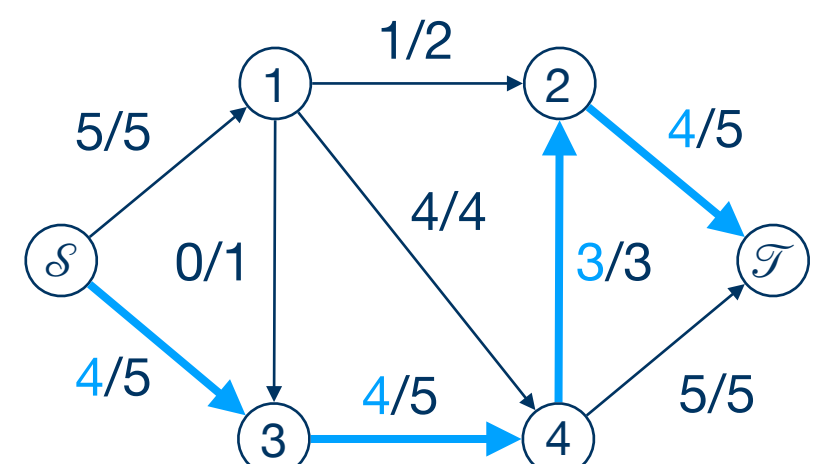
Notons  $f$  le flot avant l'itération de la boucle, et  $f'$  celui après. Alors  $|f'| = |f| + \Delta$  et  
 $\begin{cases} \Delta \in \mathbb{N} \text{ par le Lemme 3} \\ \Delta \neq 0 \text{ car un chemin augmentant existe} \end{cases}$  donc  $\Delta > 0$   
 d'où  $|f'| > |f|$

**Preuve de la terminaison :**

Le théorème affirme que le flot est majoré par la valeur d'une coupe minimale.

De plus la suite  $(|f|_i)_{i \in \mathbb{N}}$  des valeurs du flot à l'itération  $i$  est une suite strictement croissante (Lemme 4) à valeur dans  $\mathbb{N}$  (Lemme 3) et majorée, elle converge donc en un nombre fini d'étape, plus précisément en  $\mathcal{O}(f^*)$  étapes

Puisque la recherche de  $\Delta$  peut se faire en  $\mathcal{O}(|\mathcal{E}|)$  on a une complexité totale de l'algorithme en  $\mathcal{O}(|\mathcal{E}| \cdot f^*)$

Etape 0 :  $|f| = 0$ Etape 1 :  $|f| = 4$ Etape 2 :  $|f| = 5$ Etape 3 :  $|f| = 7$ Etape 4 :  $|f| = 8$ Etape 5 :  $|f| = 10 = |f^*|$ Etape 3b :  $|f| = 6$ Etape 4b :  $|f| = 9$

```

0 let dfs g =
1   let n = Array.length g in
2   let pere = Array.make n (-1) in
3   pere.(0) <- 0;
4   let rec traitement i =
5     for j = 0 to n - 1 do
6       if g.(i).(j) > 0 && pere.(j) = (-1) then (
7         pere.(j) <- i;
8         traitement j)
9     done
10  in
11    traitement 0; pere;;
12
13 let chemin parcours_func g =
14   let n = Array.length g and pere = parcours_func g in
15   if pere.(n - 1) = (-1) then None
16   else
17     let rec aux v gamma =
18       let gamma' = v::gamma in
19       if v = 0 then Some gamma'
20       else aux pere.(v) gamma'
21     in aux (n - 1) [];;
22
23 let ford_fulkerson g parcours_func =
24   let n = Array.length g in
25   let f = Array.make_matrix n n 0
26   and rf = Array.make_matrix n n 0 in
27
28   for i = 0 to n - 1 do
29     for j = 0 to n - 1 do
30       rf.(i).(j) <- g.(i).(j)
31     done
32   done;
33
34   let rec calcul_delta chemin =
35     match chemin with
36     | [u;v] -> rf.(u).(v)
37     | u :: v :: chemin' -> min (rf.(u).(v)) (calcul_delta (v::chemin'))
38     | _ -> failwith "delta : chemin trop court"
39
40   in
41   let rec update_flow delta chemin = (*Mise à jour de f et rf*)
42     match chemin with
43     | u :: v :: chemin' ->
44       if g.(u).(v) > 0 then (
45         (*arête directe dans Rf*)
46         f.(u).(v) <- f.(u).(v) + delta;
47         rf.(u).(v) <- g.(u).(v) - f.(u).(v);
48         rf.(v).(u) <- f.(u).(v)
49       else (
50         (*arête indirecte dans Rf*)
51         f.(v).(u) <- f.(v).(u) - delta;
52         rf.(u).(v) <- f.(v).(u);
53         rf.(v).(u) <- g.(v).(u) - f.(v).(u)
54       )
55     | _ -> ()
56
57   in
58   let rec loop () =
59     match chemin parcours_func rf with
60     | None -> f
61     | Some chem ->
62       let delta = calcul_delta chem
63       in update_flow delta chem; loop ()
64   in loop ();;

```

```

0 let bfs g =
1   let n = Array.length g in
2   let pere = Array.make n (-1) in
3   pere.(0) <- 0;
4   let rec parcours l1 =
5     let l2 = ref [] in
6     List.iter
7       (fun i ->
8         for j = 0 to n - 1 do
9           if g.(i).(j) > 0 && pere.(j) = (-1) then (
10             pere.(j) <- i;
11             l2 := j :: !l2)
12         done) l1;
13     if !l2 <> [] then parcours !l2
14   in
15   parcours [0]; pere;;

```

```

0 class SegmentedImage(object):
1     def __init__(self, image_path, OBJECT, BACKGROUND):
2         self.img = Image.open(image_path)
3         self.img = self.img.convert("RGB")
4         #self.img = ImageOps.grayscale(self.im)
5         self.w, self.h = self.img.size
6
7         # Caching the pixel values because Image.getpixel is really slow
8         self.pixel_values = {p: self.img.getpixel(p) for p in self.pixels()}
9
10        #User input
11        self.obj_seeds = OBJECT
12        self.back_seeds = BACKGROUND
13        # Constantes
14        self.LAMBDA = 0.2
15        self.SIGMA = 50
16        self.PX_SMOOTHING = 2
17
18        #Utilitaire
19        self.utilitaire()
20
21        self.computeHistograms(self.obj_seeds, self.back_seeds)
22        self.calculateBoundaryCosts()
23        self.calculateRegionalCosts()
24        self.createGraph()
25
26    def pixels(self):
27        """
28        Returns :
29        """
30        generator_object : contenant tous les couples (x,y) de [0,w]*[0,h]
31        """
32        for x in range(self.w):
33            for y in range(self.h):
34                yield (x, y)
35
36    def utilitaire(self): #Conversion Image <-> Graphe
37        i = 1
38        self.pixel_to_vertex, self.vertex_to_pixel = {}, {}
39        for p in self.pixels():
40            self.pixel_to_vertex[p] = i
41            self.vertex_to_pixel[i] = p
42            i += 1
43        return self.pixel_to_vertex, self.vertex_to_pixel
44
45    def neighbours_8(self, x, y):
46        """
47        Arguments :
48            x (int) : abscisse du pixel
49            y (int) : ordonnée du pixel
50
51        Returns :
52        """
53        generator_object : generateur des 4 voisins du pixel pour
54        former un 8-voisinage
55        """
56        return ((i, j) for (i, j) in
57                [(x+1, y), (x, y+1), (x+1, y+1), (x+1, y-1)]
58                if 0 <= i < self.w and 0 <= j < self.h and (i != x or j != y))

```

```

58    def distance(self, p_a, p_b):
59        """
60        Arguments :
61            p_a : pixel
62            p_b : pixel
63
64        Returns :
65            float : distance euclidienne entre deux pixels
66        """
67        return abs(p_a[0] - p_b[0]) + abs(p_a[1] - p_b[1])
68
69    def i_delta(self, a, b, fun):
70        """
71        Arguments :
72            a (r,g,b)
73            b (r,g,b)
74            fun (int) : determine la fonction de calcul de i_delta
75        Returns :
76            float : i_delta
77        """
78        match fun:
79            case 0:
80                return self.L(*a) - self.L(*b)
81            case 1:
82                return sum([abs(a[i] - b[i]) for i in range(len(a))])
83            case 2:
84                return sum([255/(1+ abs(a[i] - b[i])) for i in range(len(a))])
85            case 3:
86                return sum([a[i] + b[i] for i in range(len(a))])
87            case 4:
88                return sqrt(sum([(a[i] - b[i])**2 for i in range(len(a))]))
89            case 5:
90                return sqrt(sum([v**2 for v in self.vectorial_product(a,b)]))
91
92
93    def L(self, R, G, B):
94        """
95        Renvoie la couleur d'un pixel en noir et blanc perçue par l'oeil humain
96        """
97        return int(R * 299/1000 + G * 587/1000 + B * 114/1000)
98
99    def vectorial_product(self, a, b):
100        (xa, ya, za), (xb, yb, zb) = a, b
101        return (ya*zb - yb*za, xb*za - xa*zb, xa*yb - ya*xb)
102
103    ##### CALCUL DU COUT DE FRONTIERE #####
104
105    def B_pq(self, p_a, p_b):
106        """
107        Arguments :
108            p_a : pixel (xa,ya)
109            p_b : pixel (xb,yb)
110
111        Returns :
112            float : cout de frontiere entre les deux pixels
113        """
114        delta = self.i_delta(self.pixel_values[p_a], self.pixel_values[p_b], 3)
115        return exp(- delta**2 / (2 * self.SIGMA**2)) / self.distance(p_a, p_b)

```



```

116 def calculateBoundaryCosts(self):
117     self.boundary_costs = {}
118     for p in self.pixels():
119         self.boundary_costs[p] = {}
120         for n_p in self.neighbours_8(p):
121             self.boundary_costs[p][n_p] = self.B_pq(p, n_p)
122
123     # Calcul de K
124     self.K = 1. + max(sum(self.boundary_costs[p].values()) for p in
125                       self.pixels())
126
127     ##### CALCUL DU COUT DE REGION #####
128
129 def getHistogram(self, points):
130     """
131     Arguments :
132         points : int array in range(0,256)
133     Returns :
134         dict : probabilité normalisée, telle qu'aucune valeur ne soit nulle
135     """
136     values_count = Counter(self.L(*self.pixel_values[p]) for p in points)
137     for intensite in range(256):
138         if intensite not in values_count.keys():
139             values_count[intensite] = 1/256
140     return {value : float(count) / (len(points)) for value, count in
141           values_count.items()}
142
143
144 def gaussian_smoothing(self, histogram, sigma=1.0):
145     """
146     Lissage de l'histogramme avec un noyau gaussien
147
148     Arguments :
149         histogram (array) : Input histogram.
150         sigma (float, optional): std of the Gaussian kernel
151
152     Returns :
153         array : Smoothed histogram
154     """
155     histogram = np.array(histogram, dtype=np.float32)
156     kernel = np.exp(-0.5 * np.arange(-5 * sigma, 5 * sigma + 1)**2 /
157                      sigma**2)
158     smoothed = convolve1d(histogram, kernel, mode='reflect') / kernel.sum()
159     return smoothed
160
161 def computeHistograms(self, obj, bkg):
162     self.bkg_h = self.getHistogram(bkg)
163     self.obj_h = self.getHistogram(obj)
164     intensite = [i for i in range(255)]
165     self.bkg_hist = self.gaussian_smoothing([self.bkg_h[i] for i in
166                                             intensite if i in self.bkg_h.keys()], self.PX_SMOOTHING)
167     self.obj_hist = self.gaussian_smoothing([self.obj_h[i] for i in
168                                             intensite if i in self.obj_h.keys()], self.PX_SMOOTHING)
169
170 def R_p(self, point, hist):
171     """
172     Arguments :
173         point : pixel (x,y)
174         hist : array histogram
175
176     Returns :
177         float : cout de région du pixel de coordonnées (x,y)
178     """
179     Ip = self.L(*self.pixel_values[point])
180     proba = hist[Ip]
181     return - self.LAMBDA * log(proba)

```

```

182 def calculateRegionalCosts(self):
183     self.regional_penalty_obj = {p: 0 if p in self.obj_seeds else self.K if p
184                                in self.back_seeds else self.R_p(p, self.obj_hist) for p in self.pixels()}
185     self.regional_penalty_bkg = {p: self.K if p in self.obj_seeds else 0 if p
186                                in self.back_seeds else self.R_p(p, self.bkg_hist) for p in self.pixels()}
187
188
189 def createGraph(self):
190     self.graph = nx.Graph()
191     g = self.graph
192
193     #Creation de P
194     for p in self.pixels():
195         g.add_node(self.pixel_to_vertex[p])
196
197     #Creation de la source et du puit
198     self.s = 0
199     self.t = self.w*self.h + 1
200     g.add_node(self.s)
201     g.add_node(self.t)
202
203     #Creation des aretes de frontière:
204     for x in range(self.w):
205         for y in range(self.h):
206             p = (x,y)
207             for n_p in self.neighbours_8(x,y):
208                 g.add_edge(self.pixel_to_vertex[p],
209                           self.pixel_to_vertex[n_p], capacity=self.boundary_costs[p]
210                           [n_p])
211
212     #Creation des aretes de région:
213     for p in self.pixels():
214         g.add_edge(self.s, self.pixel_to_vertex[p],
215                   capacity=self.regional_penalty_obj[p])
216         g.add_edge(self.pixel_to_vertex[p], self.t, capacity =
217                   self.regional_penalty_bkg[p])
218
219 def cut(self):
220     cut = nx.minimum_cut(self.graph, self.s, self.t,
221                          flow_func=shortest_augmenting_path)
222     return cut[1]
223
224 def generate_mask(self, partition):
225     S,T = partition
226     imarray = np.zeros((self.h,self.w), dtype=np.uint8)
227     for vertex in T:
228         if vertex != self.t and vertex != 0:
229             (x,y) = self.vertex_to_pixel[vertex]
230             imarray[y][x] = 255
231     return Image.fromarray(imarray, mode='L').convert('1')

```





```

105 def vertexInsideSolidAngle(self, pixel):
106     """
107     On regarde si le vertex est compris dans la pyramide de sommet l'origine de la caméra et de base le pixel
108
109     Arguments :
110         pixel (list) : [j,i] renvoyé par shapeFromImage(self)
111
112     Returns :
113         vertexList (list) : liste des pixels dans l'angle solide
114
115     """
116     vertexList = []
117
118     if pixel[1] > 0 and pixel[1] < self.imageH and pixel[0] > 0 and pixel[0] < self.imageW:
119         topleft = self.globalCoordPixel[pixel[1]][pixel[0]] - self.cameraPos
120         topright = self.globalCoordPixel[pixel[1]][pixel[0]+1] - self.cameraPos
121         botleft = self.globalCoordPixel[pixel[1]+1][pixel[0]] - self.cameraPos
122         botright = self.globalCoordPixel[pixel[1]+1][pixel[0]+1] - self.cameraPos
123         for (x,y,z) in self.voxel():
124             point = [self.x0 + x*self.d, self.y0 + y*self.d, self.z0 + z*self.d]
125             if self.vertexAbovePlane(botleft, topleft, point): #plan de gauche
126                 if self.vertexAbovePlane(topleft, topright, point): #plan du haut
127                     if self.vertexAbovePlane(botright, botleft, point): #plan du bas
128                         if self.vertexAbovePlane(topright, botright, point): #plan de droite
129                             vertexList.append(self.voxel_to_vertex[(x,y,z)])
130         return vertexList
131
132 def vertexInsideShape(self):
133     """
134     Pour chaque pixel de la silhouette, on regarde quels sont les vertex dans l'angle solide
135
136     Returns :
137         vertexSet (set) : ensemble des vertex dans l'angle solide de la silhouette
138
139     """
140     vertexSet = set()
141     for pixel in self.shapeArray:
142         inside = self.vertexInsideSolidAngle(pixel)
143         for voxelId in inside:
144             vertexSet.add(voxelId)
145     return vertexSet

```

```

0 import numpy as np
1 import networkx as nx
2 from math import sqrt, exp, pi, log, sin, cos, tan, radians
3 from PIL import Image, ImageOps
4 from solidAngle import solidAngle
5
6 class Reconstruction(object):
7
8     def __init__(self, shapeList, cameraPos, cameraRot, cameraDist, FoV,
9 volumeSize, volumeOrigin, dVolume):
10         """
11         Parameters
12         -----
13
14         shapeList : PIL.Image_object array
15             Liste contenant les objets images de chaque photo
16         cameraPos : (float array) array
17             tableau contenant pour chaque camera sa position suivant les 3
18             axes
19         cameraRot : (float array) array
20             tableau contenant pour chaque camera sa rotation en radians
21             suivant les axes
22         cameraDist : float
23             distance fixe de la camera à l'objet sur toutes les photos
24         FoV : float (radians)
25             FoV de la caméra
26         volumeSize : int array [width, depth, height]
27             nombre de point selon chaque axe pour la reconstruction
28         volumeOrigin : float array : [x0, y0, z0]
29             position du premier point de la reconstruction
30         dVolume : float array : [dx, dy, dz]
31             espacement des points de la reconstruction suivant les 3 axes
32
33         """
34         self.radius = cameraDist
35         self.cameraRot = cameraRot
36         self.w, self.d, self.h = volumeSize #Garder w*d*h <= 200 000
37         self.volumeSize = [self.w, self.d, self.h]
38         self.volumeOrigin = volumeOrigin
39         self.dVolume = dVolume
40         self.nbCamera = len(shapeList)
41         self.cameraPos = cameraPos
42         self.shapeList = shapeList
43         self.FoV = FoV
44
45         #Constantes
46         self.REGIONALPENALTYBKG = 255
47         self.LAMBDA = -1.1
48         self.ALPHA = 0.1
49         self.NU = 1.4
50
51         self.createConversionDict()
52         self.calculate_0v()
53         self.createGraph()
54     def voxel(self):
55         """
56         Returns :
57         generator_object : contenant tous les couples (x,y,z) de vertex
58         du volume w*d*h
59         """
60         for z in range(self.h):
61             for y in range(self.d):
62                 for x in range(self.w):
63                     yield (x,y,z)

```

```

64     def createConversionDict(self): #Conversion Volume <=> Graphe
65         """
66         Crée deux dictionnaires de conversion voxel(volume) en vertex(graphe)
67         """
68         i = 0
69         self.voxel_to_vertex, self.vertex_to_voxel = {}, {}
70         for p in self.voxel():
71             self.voxel_to_vertex[p] = i
72             self.vertex_to_voxel[i] = p
73             i += 1
74         return self.voxel_to_vertex, self.vertex_to_voxel
75
76     def neighbours6(self, x, y, z): #les 6 voisins, on en calcule seulement 3.
77         """
78         Arguments :
79             x, y, z : coordonnées du voxel
80
81         Returns :
82             (tuple comprehension) : tuple contenant toutes les coordonnées des
83             voisins accessibles dans un voisinage 6 (3D)
84         """
85         return ((i, j, k) for (i, j, k) in [(x+1, y, z), (x, y+1, z), (x, y, z+1)]
86                 if 0 <= i < self.w and 0 <= j < self.d and 0 <= k < self.h and
87                 i != x or j != y or k != z))
88
89     def regionalPenaltyObj(self, voxel):
90         n = self.0[self.voxel_to_vertex[voxel]]
91         return self.LAMBDA * (1 - exp(n / self.NU))
92         #return 400*n**2 / self.nbCamera
93
94     def boundaryPenalty(self, voxel1, voxel2):
95         N1 = self.0[self.voxel_to_vertex[voxel1]]
96         N2 = self.0[self.voxel_to_vertex[voxel2]]
97         return self.ALPHA * N1 * N2 / (self.avg_0_v)**2
98
99     def calculate_0v(self):
100         """
101         Calcul du nombre de camera voyant chaque voxel
102
103         0 (dict) : dictionnaire contenant 0[voxel] = NbCamera voyant le voxel
104         avg_0_v (float) : valeur moyenne du nombre de caméra voyant un voxel
105         quelconque
106         """
107         self.0 = dict()
108         self.avg_0_v = 0
109         for vertex in range(self.w*self.h*self.d):
110             self.0[vertex] = 0
111         for i in range(self.nbCamera):
112             s = solidAngle(self.shapeList[i], self.cameraPos[i], self.cameraRot[i],
113                             self.FoV, self.volumeSize, self.volumeOrigin, self.dVolume)
114             vertexSet = s.vertexInsideShape()
115
116             for vertex in vertexSet:
117                 self.0[vertex] += 1
118                 self.avg_0_v += 1
119         self.avg_0_v /= len(self.0.keys())

```

```

120 def createGraph(self):
121
122     self.graph = nx.Graph()
123     g = self.graph
124
125     #Creation du volume de reconstruction : (ensemble V)
126     for v in self.voxel():
127         g.add_node(self.voxel_to_vertex[v])
128
129     self.s = self.w*self.h*self.d + 2 #le noeud s ne prend pas la valeur 0 car
130     self.t = self.w*self.h*self.d + 1 #la numérotation des vertex débute à 0
131     g.add_node(self.s)
132     g.add_node(self.t)
133
134     #Creation de E:
135     for v in self.voxel():
136         #Aretes de frontière
137         vert = self.voxel_to_vertex[v]
138         for n_v in self.neighbours6(*v):
139             neigh = self.voxel_to_vertex[n_v]
140             g.add_edge(vert, neigh, capacity =
141                         self.boundaryPenalty(v, n_v))
142         #Aretes de région
143         g.add_edge(self.s, vert, capacity = self.regionalPenaltyObj(v))
144         g.add_edge(vert, self.t, capacity = self.REGIONALPENALTYBKG)
145
146
147 def cut(self):
148     self.cut = nx.minimum_cut(self.graph, self.s, self.t)
149     self.cut = self.cut[1]
150     self.object =
151         [self.vertex_to_voxel[v] for v in self.cut[0] if v != self.s]
152     self.background =
153         [self.vertex_to_voxel[v] for v in self.cut[1] if v != self.t]
154     return self.background, self.object

```

```

0 from tkinter import *
1 from PIL import Image, ImageTk
2 from tkinter.ttk import Button, Style
3 import pickle
4
5 def interactive_segmentation(list_url):
6     global loaded_image
7     loaded_image = []
8     global mode
9     mode = False # True = background, False = object
10    global current_image
11    current_image = 0
12    global photo_images # Store PhotoImage objects in a list
13    photo_images = []
14    background_list = [set() for _ in range(len(list_url))]
15    object_list = [set() for _ in range(len(list_url))]
16
17    def get_x_and_y(event):
18        global lasx, lasy
19        lasx, lasy = event.x, event.y
20
21    def change_mode():
22        global mode
23        mode = not mode
24        mode_label.config(text="Mode: " + ("background" if mode else "object"))
25
26    def draw_smth(event):
27        global lasx, lasy, mode, current_image
28        if mode:
29            color = "blue"
30            current_list = background_list[current_image]
31        else:
32            color = "red"
33            current_list = object_list[current_image]
34
35        canvas.create_line((lasx, lasy, event.x, event.y),
36                           fill=color,
37                           width=2)
38        lasx, lasy = event.x, event.y
39        current_list.add((lasx, lasy))
40
41    def done():
42        app.quit()
43
44    def on_closing():
45        app.quit()
46
47    def go_left():
48        global current_image
49        global loaded_image
50        current_image = (current_image - 1) % len(list_url)
51        canvas.delete("all") # Remove all items from the canvas
52        image = loaded_image[current_image]
53        canvas.create_image(0, 0, anchor="nw", image=image)
54        redraw_drawings()
55
56    def go_right():
57        global current_image
58        global loaded_image
59        current_image = (current_image + 1) % len(list_url)
60        canvas.delete("all") # Remove all items from the canvas
61        image = loaded_image[current_image]
62        canvas.create_image(0, 0, anchor="nw", image=image)
63        redraw_drawings()

```

```

64 def redraw_drawings():
65     for point in background_list[current_image]:
66         x, y = point
67         canvas.create_line(x-1, y-1, x+1, y+1, fill="blue", width=2)
68     for point in object_list[current_image]:
69         x, y = point
70         canvas.create_line(x-1, y-1, x+1, y+1, fill="red", width=2)
71
72 app = Tk()
73 app.geometry("400x400")
74
75 app.grid_rowconfigure(0, weight=1)
76 app.grid_columnconfigure(0, weight=1)
77
78 style = Style()
79 style.theme_use("aqua")
80
81 canvas = Canvas(app, bg='black')
82 canvas.grid(row=0, column=0, columnspan=3, padx=10, pady=(30, 0), sticky="nsew")
83
84
85 canvas.bind("<Button-1>", get_x_and_y)
86 canvas.bind("<B1-Motion>", draw_smth)
87
88 for file_path in list_url:
89     image = Image.open(file_path)
90     photo_image = ImageTk.PhotoImage(image)
91     loaded_image.append(photo_image)
92     canvas.photo_image = photo_image
93
94 image_container = canvas.create_image(0, 0, anchor="nw", image=loaded_image[0])
95 canvas.image = loaded_image[0]
96
97
98 left_button = Button(app, text="<<<", command=go_left)
99 right_button = Button(app, text=">>>", command=go_right)
100 mode_button = Button(app, text="Mode", command=change_mode)
101 done_button = Button(app, text="Done", command=done)
102
103 mode_label = Label(app, text="Mode: " + ("background" if mode else "object"))
104
105
106 left_button.grid(row=1, column=0, padx=5, pady=3)
107 right_button.grid(row=1, column=1, padx=5, pady=3)
108 mode_button.grid(row=1, column=2, padx=5, pady=3)
109 done_button.grid(row=2, column=0, padx=5, pady=3, sticky="w")
110 mode_label.grid(row=2, column=2, pady=3)
111
112
113 app.protocol("WM_DELETE_WINDOW", on_closing)
114 app.mainloop()
115
116 # Save the background_list and object_list into a file
117 with open('lists.pkl', 'wb') as f:
118     pickle.dump((background_list, object_list), f)

```